

Aula 3 - Teorias de campo médio

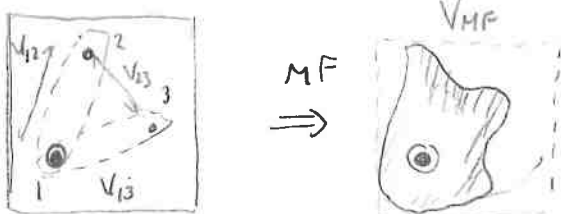
(1)

Na derivação do termo de dois corpos em segunda quantização, obtivemos um termo de ordem quártica na forma:

$$\hat{V}_{\text{int}} = \sum_{K_i K_j} (\hat{V})_{K_i K_j} C_{K_i}^+ C_{K_j}^+ C_{K_m} C_{K_e}$$

Termos como esse introduzem correlações em um sistema de N -partículas que tornam o sistema ao mesmo tempo rico (em termos de comportamentos físicos) mas também complexo, no sentido em que soluções exatas são, em geral, inexistentes.

Em muitos casos, é possível capturar efeitos não-triviais da forma de correlação nas propriedades físicas através de aproximações que deixam \hat{V}_{int} escrito na forma de um potencial efetivo de um corpo. Tais aproximações são denominadas, em geral, de Teoria de Campo Médio. Como o nome sugere, essas aproximações assumem que o sistema de N -partículas pode ser mapeado em "N sistemas de partícula única" com partícula sujeita a potenciais efetivos ^{estatísticos} que advém da interações com outras partículas.



(2)

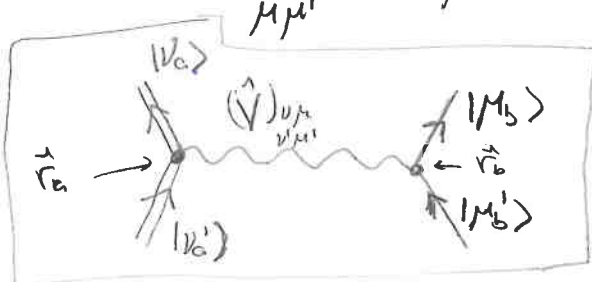
Caso 1: Interacções entre partículas distinguíveis

Consideremos um sistema de dois tipos de partículas descritas pelos operadores a_ν^+ e b_μ^+ ($a_\nu^+ |0\rangle = |1_{\nu}\rangle \Rightarrow$ básonicas ou fermionicas ($[a_\nu, a_{\nu'}]_+ = \delta_{\nu\nu'}, [b_\mu, b_{\mu'}]_+ = \delta_{\mu\mu'}$) mas que, nesse sistema, apenas interações entre partículas diferentes sejam importantes (elétrons e buracos em um semicondutor, por exemplo). O Hamiltoniano pode ser escrito como:

$$H = H_0 + V_{int}$$

$$\hat{H}_0 = \sum_\nu \epsilon_\nu^a a_\nu^+ a_\nu + \sum_\mu \epsilon_\mu^b b_\mu^+ b_\mu$$

$$\hat{V}_{int} = \sum_{\nu\nu'} \sum_{\mu\mu'} (\hat{V})_{\nu\mu}^+ a_\nu^+ b_\mu^+ b_{\mu'}^- a_{\nu'}^-$$



$$\begin{cases} \langle \vec{r}_a | \nu \rangle = \psi_\nu^*(\vec{r}_a) \\ \langle \vec{r}_b | \mu \rangle = \psi_\mu(\vec{r}_b) \end{cases}$$

$$(\hat{V})_{\nu\mu} = \int d^3\vec{r}_a d^3\vec{r}_b \psi_\nu^*(\vec{r}_a) \psi_\mu^*(\vec{r}_b) V(\vec{r}_a - \vec{r}_b) \psi_\nu(\vec{r}_a) \psi_\mu(\vec{r}_b)$$

(3)

A aproximação de campo médio em \hat{V}_{int} consiste, essencialmente, em desprezar flutuações de operador-densidade das partículas, substituindo-as pelo seu valor médio. Ou seja, definindo os operadores densidade para as partículas a e b e as respectivas derivadas:

$$\begin{aligned}\hat{n}_{\nu\nu'}^a &\equiv a_{\nu}^+ a_{\nu'} \quad \left\{ \begin{array}{l} \hat{n}_{\nu\nu'}^a = \hat{n}_{\nu\nu'}^a - \langle \hat{n}_{\nu\nu'}^a \rangle \\ \hat{n}_{\mu\mu'}^b = b_{\mu}^+ b_{\mu'} \end{array} \right. \\ \hat{n}_{\mu\mu'}^b &\equiv b_{\mu}^+ b_{\mu'}\end{aligned}$$

(onde $\langle \dots \rangle$ indica o valor esperado $\langle \hat{A} \rangle = \frac{1}{Z} \text{Tr}[e^{-\beta \hat{H}} \hat{A}]$. Para $T=0$, $\langle \Psi_0 | \hat{A} | \Psi_0 \rangle$, $|\Psi_0\rangle$ é o estado fundamental). Escrevendo $\hat{n}_{kk'}^p = \Delta \hat{n}_{kk'}^p + \langle \hat{n}_{kk'}^p \rangle$ para ambas as partículas, temos:

$$\hat{V}_{int} = + \sum_{\nu\mu} \underbrace{(\hat{V})_{\nu\mu}}_{\hat{a}_{\nu}^+ a_{\nu'}} \underbrace{\hat{n}_{\mu\mu'}^b}_{\hat{b}_{\mu}^+ b_{\mu'}} = \sum_{\nu\mu} (\hat{n}_{\nu\nu'}^a) (\langle n_{\mu\mu'}^b \rangle + \Delta n_{\mu\mu'}^b)$$

$$\begin{aligned}&= \sum_{\nu\mu} \underbrace{(\hat{V})_{\nu\mu}}_{\nu\mu'} \left[\langle n_{\nu\nu'}^a \rangle \langle n_{\mu\mu'}^b \rangle + (\hat{n}_{\nu\nu'}^a - \langle \hat{n}_{\nu\nu'}^a \rangle) \langle n_{\mu\mu'}^b \rangle \right. \\ &\quad \left. + (\hat{n}_{\mu\mu'}^b - \langle n_{\mu\mu'}^b \rangle) \langle \hat{n}_{\nu\nu'}^a \rangle + \Delta \hat{n}_{\nu\nu'}^a \Delta \hat{n}_{\mu\mu'}^b \right] = \\ &= \left(\sum_{\nu\mu} \underbrace{(\hat{V})_{\nu\mu}}_{\nu\mu'} \left[\langle \hat{n}_{\nu\nu'}^a \rangle \langle \hat{n}_{\mu\mu'}^b \rangle - 2 \langle n_{\nu\nu'}^a \rangle \langle n_{\mu\mu'}^b \rangle \right. \right. \\ &\quad \left. \left. + \hat{n}_{\nu\nu'}^a \langle n_{\mu\mu'}^b \rangle + n_{\mu\mu'}^b \langle \hat{n}_{\nu\nu'}^a \rangle \right] \right)\end{aligned}$$

$$+ \sum_{\nu\mu} \underbrace{(\hat{V})_{\nu\mu}}_{\nu\mu'} \Delta n_{\nu\nu'}^a \Delta n_{\mu\mu'}^b$$

→ desprezando em campo médio,

\hat{V}_{MF}

(4)

Podemos então escrever (a menos de uma constante):

$$\hat{H} \approx \hat{H}_{MF} = \hat{H}_0 + \hat{V}_{MF} \quad \text{onde}$$

densidade

$$\hat{V}_{MF} = \sum_{\nu\mu} \sum_{\nu'\mu'} \left[a_\nu^\dagger a_\nu \langle b_\mu^\dagger b_{\mu'} \rangle + b_\mu^\dagger b_{\mu'} \langle a_\nu^\dagger a_\nu \rangle - \underbrace{\langle a_\nu^\dagger a_\nu \rangle \langle b_\mu^\dagger b_{\mu'} \rangle}_{\text{termo de interação}} \right]$$

que é essencialmente, um potencial de um corpo, de modo que

\hat{H}_{MF} é "solúvel" (vide exercício da Lista 1). Equivalentemente,

podemos dizer que a aproximação de campo médio equivale a

aproximar um Hamiltoniano dado pelo produto de dois operadores:

$$H_{AB} = \hat{A} \cdot \hat{B} \quad \xrightarrow{MF} \quad H_{AB}^{MF} = \hat{A} \langle \hat{B} \rangle + \langle \hat{A} \rangle \hat{B} - \langle \hat{A} \rangle \langle \hat{B} \rangle$$

Note, no entanto, que alguma informação sobre $\langle \hat{A} \rangle$ e $\langle \hat{B} \rangle$

deve ser fornecida como "input". Há dois métodos básicos

soluções de
de campo médio:

Método 1: $\langle \hat{A} \rangle$ e $\langle \hat{B} \rangle$ (ou $\langle \hat{n}_{\nu\nu'}^a \rangle$ e $\langle \hat{n}_{\mu\mu'}^b \rangle$) são determinados

$$\text{auto-consistentemente: } \langle \psi | \hat{n}_{\nu\nu'}^a | \psi \rangle \rightarrow H_{MF} \rightarrow |\psi_i\rangle \rightarrow \langle \psi_i | n^a | \psi_i \rangle \\ (T=0) \rightarrow \langle \psi | \hat{n}_{\mu\mu'}^b | \psi \rangle \rightarrow \langle \psi_i | n^b | \psi_i \rangle$$

ou ainda:

$$\boxed{\begin{aligned} \langle \hat{n}_{\nu\nu'}^a \rangle &= \frac{1}{Z_{MF}} \text{Tr} [e^{-\beta H_{MF}} \hat{n}_{\nu\nu'}^a] \\ \langle \hat{n}_{\mu\mu'}^b \rangle &= \frac{1}{Z_{MF}} \text{Tr} [e^{-\beta H_{MF}} \hat{n}_{\mu\mu'}^b] \end{aligned} \rightarrow H_{MF} \rightarrow \begin{array}{l} \text{novos estados} \\ \text{de partícula} \\ \text{única } |\psi_i\rangle \\ |M_i\rangle \end{array} \rightarrow Z_{MF}^{-1} = \text{Tr}[e^{-\beta H_{MF}}]}$$

$$\text{Condições de convergência: } \begin{cases} \langle \hat{n}_{\nu\nu'}^a \rangle = \langle \hat{n}_{\nu\nu'}^a \rangle_{MF} = \frac{1}{Z_{MF}} \text{Tr} [e^{-\beta H_{MF}} n_{\nu\nu'}^a] \\ \langle \hat{n}_{\mu\mu'}^b \rangle = \langle \hat{n}_{\mu\mu'}^b \rangle_{MF} = \frac{1}{Z_{MF}} \text{Tr} [e^{-\beta H_{MF}} n_{\mu\mu'}^b] \end{cases}$$

input output

(5)

Método 2: Princípio variacional

Por exemplo, minimizações da energia livre, $F = U - TS$

ou $F = \langle H \rangle - TS$ através da inequidade $F \leq \langle H \rangle_0 - TS_0$

onde $\langle H \rangle_0 = \frac{\text{Tr}[e^{-\beta H_0} H]}{\text{Tr}[e^{-\beta H_0}]}$ e S_0 também é calculado para $p \approx p_0$

Lembrando que, no ensemble canônico, $Z = \text{Tr}[e^{-\beta H}] = e^{-\beta F}$

Queremos então encontrar as densidades $\langle n_{vv'}^a \rangle$ e $\langle n_{mm'}^b \rangle$ tal que, na aproximação de campo médio, minimizem F . Ou seja:

Tomando a derivada, por exemplo

$$\boxed{\frac{dF_{MF}}{d\langle n_{vv'}^a \rangle} = 0}$$

$$0 = \frac{dF_{MF}}{d\langle n_{vv'}^a \rangle} = \frac{d}{d\langle n_{vv'}^a \rangle} \left[-\frac{1}{\beta} \ln Z_{MF} \right] = -\frac{1}{\beta} \cdot \frac{1}{Z_{MF}} \cdot (-\beta) \cdot \text{Tr} \left[e^{-\beta H_{MF}} \frac{dH_{MF}}{d\langle n_{vv'}^a \rangle} \right]$$

c-number

$$= \frac{1}{Z_{MF}} \cdot \text{Tr} \left[e^{-\beta H_{MF}} \sum_{\mu\mu'} V_{\mu\mu'} (\underbrace{b_\mu^\dagger b_\mu - \langle b_\mu^\dagger b_\mu \rangle}_{\langle n_{\mu\mu'}^b \rangle_{MF}}) \right]$$

$$= \sum_{\mu\mu'} V_{\mu\mu'} \left(\underbrace{\frac{1}{Z_{MF}} \text{Tr} [e^{-\beta H_{MF}} b_\mu^\dagger b_\mu]}_{\langle n_{\mu\mu'}^b \rangle_{MF}} - \langle n_{\mu\mu'}^b \rangle \right)$$

cuja solução é $\boxed{\langle n_{mm'}^b \rangle_{MF} = \langle n_{mm'}^b \rangle}$ para todo $(\mu, \mu'), (v, v')$

Derivando em relação a $\langle n_{mm'}^b \rangle$, obtemos um conjunto de equações

similares para n^a : $\boxed{\langle n_{vv'}^a \rangle_{MF} = \langle n_{vv'}^a \rangle}$. Note que isso é equivalente ao

método 1.

O que "jogamos fora" na aproximação de campo médio?

Em uma palavra: correlação, no sentido estatístico.

Em estatística, a correlação entre duas variáveis estocásticas X, Y é definida como $G(X, Y) = \langle XY \rangle - \langle X \rangle \langle Y \rangle$. Se as variáveis não são correlacionadas ($G(X, Y) = 0$) então $\langle XY \rangle = \langle X \rangle \langle Y \rangle$.

Em campo médio, fazemos essencialmente a aproximação de que as partículas a e b são interagentes mas não correlacionadas:

$$\text{EXATO: } \langle \hat{V}_{\text{int}} \rangle = \sum_{\substack{\nu\nu' \\ \mu\mu'}} \langle \hat{V} \rangle_{\nu\mu} \langle a_\nu^\dagger b_\mu^\dagger b_\mu a_\nu \rangle = \sum_{\substack{\nu\nu' \\ \mu\mu'}} \langle \hat{V} \rangle_{\nu\mu} \langle a_\nu^\dagger a_\nu b_\mu^\dagger b_\mu \rangle$$

$$\text{CAMPO MÉDIO: } \langle \hat{V}_{\text{int}} \rangle_{\text{MF}} = \sum_{\substack{\nu\nu' \\ \mu\mu'}} \langle \hat{V} \rangle_{\nu\mu} \langle a_\nu^\dagger a_\nu \rangle_{\text{MF}} \langle b_\mu^\dagger b_\mu \rangle_{\text{MF}}$$

$$\text{ou seja } \langle \hat{n}_{\nu\nu'}^a \hat{n}_{\mu\mu'}^b \rangle \approx \langle n_\nu^a \rangle \langle n_{\mu\mu'}^b \rangle \Rightarrow G(n_{\nu\nu'}^a, n_{\mu\mu'}^b) \approx 0$$

(7)

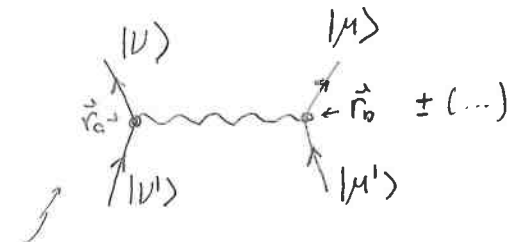
Caso 2: Interacção entre partículas indistinguíveis
 (Aproximação de Hartree - Fock)

Consideremos agora o seguinte Hamiltoniano para um tipo de partícula apenas: ($[a_\nu, a_{\nu'}^\dagger]_+ = \delta_{\nu\nu'}$)

$$H = \hat{H}_0 + \hat{V}_{int}$$

$$\hat{H}_0 = \sum_\nu \epsilon_\nu a_\nu^\dagger a_\nu$$

$$\hat{V}_{int} = \frac{1}{2} \sum_{\nu M} (V)_{\nu M} a_\nu^\dagger a_M^\dagger a_M a_\nu$$



Nesse caso, utilizaremos o seguinte resultado: se as partículas idênticas puderem ser tratadas como independentes (=não-interagantes) então! \oplus

$$\langle a_\nu^\dagger a_M^\dagger a_{\mu'} a_\nu \rangle_{\text{Non-int}} = \langle a_\nu^\dagger a_\nu \rangle_{N\!\!T} \langle a_M^\dagger a_{\mu'} \rangle_{\substack{\downarrow \\ \text{bosons}}} + \langle a_\nu^\dagger a_{\mu'} \rangle_{N\!\!T} \langle a_M^\dagger a_\nu \rangle_{\substack{\downarrow \\ \text{fermion}}} + \underbrace{\langle a_\nu^\dagger a_{\mu'} \rangle_{N\!\!T} \langle a_M^\dagger a_\nu \rangle_{N\!\!T}}_{\text{Termo de troca}}$$

No aproximação de campo médio as partículas são tratadas como independentes então a aproximação vale. Note o aparecimento do termo de troca que vem da indistinguibilidade das partículas. Por exemplo:

$$a_\nu^\dagger a_M^\dagger a_{\mu'} a_\nu = \pm a_\nu^\dagger a_M^\dagger a_{\mu'} a_\nu = \underbrace{a_\nu^\dagger a_\nu a_M^\dagger a_{\mu'}}_{S_{\mu'\nu} \pm a_\nu a_M^\dagger} \oplus a_\nu^\dagger a_{\mu'} \underbrace{\delta_{\mu'\nu}}_{\substack{\uparrow \\ \text{TROCA}}}$$

(8)

Para a interação de campo médio no caso de partículas indistinguíveis é necessário incluir o termo de troca. A aproximação é feita de modo similar ao caso anterior:

$$\hat{V}_{int} = \frac{1}{2} \sum_{\nu\mu} (\hat{V})_{\nu\mu} \alpha_\nu^+ \alpha_\mu^+ \alpha_\nu^- \alpha_\mu^- \approx \sum_{\nu\mu} (\hat{V}) \left[\hat{n}_{\nu\nu} \hat{n}_{\mu\mu} \pm \hat{n}_{\nu\mu} \hat{n}_{\mu\nu} \right]$$

$$= (\Delta_{\nu\nu} \equiv \hat{n}_{\nu\nu} - \langle n_{\nu\nu} \rangle_{HF}) = \frac{1}{2} \sum_{\nu\mu} (\hat{V}) \left[(\Delta_{\nu\nu} + \langle n_{\nu\nu} \rangle) (\Delta_{\mu\mu} + \langle n_{\mu\mu} \rangle) \right. \\ \left. \hat{n}_{\nu\nu} = \Delta_{\nu\nu} + \langle n_{\nu\nu} \rangle \right] \quad \left. \pm (\Delta_{\nu\mu} + \langle n_{\nu\mu} \rangle) (\Delta_{\mu\nu} + \langle n_{\mu\nu} \rangle) \right]$$

$$\approx \frac{1}{2} \sum_{\nu\mu} (\hat{V})_{\nu\mu} \left[(\hat{n}_{\nu\nu} \langle n_{\mu\mu} \rangle + \hat{n}_{\mu\mu} \langle n_{\nu\nu} \rangle - \langle n_{\nu\nu} \rangle \langle n_{\mu\mu} \rangle) \right. \\ \left. \pm (\hat{n}_{\nu\mu} \langle n_{\mu\nu} \rangle + \hat{n}_{\mu\nu} \langle n_{\nu\mu} \rangle - \langle n_{\nu\mu} \rangle \langle n_{\mu\nu} \rangle) \right]$$

$$\hat{V}_{int} = V_{int}^{\text{Hartree}} + V_{int}^{\text{Fock}}$$

com $V_{UM} = \int d^3 \vec{r}_a d^3 \vec{r}_b \Psi_U^*(\vec{r}_a) \Psi_M^*(\vec{r}_b) V_{ab} \Psi_U(\vec{r}_a) \Psi_M(\vec{r}_b)$

$$V_{int}^{\text{Hartree}} = \frac{1}{2} \sum_{\nu\mu} V_{UM} \left[\hat{n}_{\nu\nu} \langle n_{\mu\mu} \rangle + \hat{n}_{\mu\mu} \langle n_{\nu\nu} \rangle - \langle n_{\nu\mu} \rangle \langle n_{\mu\nu} \rangle \right]$$

$$V_{int}^{\text{Fock}} = \pm \frac{1}{2} \sum_{\nu\mu} V_{UM} \left[\hat{n}_{\nu\mu} \langle n_{\mu\nu} \rangle + \hat{n}_{\mu\nu} \langle n_{\nu\mu} \rangle - \langle n_{\nu\mu} \rangle \langle n_{\mu\nu} \rangle \right]$$

Simetrias (ou quebras de simetrias)

Uma das aplicações de campo médio é poder identificar transições de fase (ou a possibilidade de de) em diferentes sistemas. Isso implica identificar mudanças de simetria no estado do sistema. Na prática, isso significa que as soluções de campo médio terão simetrias diferentes dependendo da fase (e, consequentemente, das parâmetros iniciais) e essas possibilidades devem ser incorporadas nas densidades.

Por exemplo, se o sistema tem simetria translacional e os operadores são $C_K^+ |0\rangle = |\vec{k}\rangle \Rightarrow \langle \vec{r} | k \rangle = \frac{1}{\sqrt{V}} e^{i\vec{k} \cdot \vec{r}}$ então

$$\langle C_K^+ C_{K'}^+ \rangle = \frac{1}{V} \int d\vec{r} d\vec{r}' e^{-i\vec{k}' \cdot \vec{r}'} e^{i\vec{k} \cdot \vec{r}} \langle \Psi^+(\vec{r}) \Psi(\vec{r}') \rangle$$

onde $\Psi^+(\vec{r}) = \sum \langle \vec{r} | \psi_i \rangle^* a_i^+$ é um operador de campo atuando na posição \vec{r} .

Se o sistema é homogêneo:

(correlações dependem da distância)

$$\langle \Psi^+(\vec{r}) \Psi(\vec{r}') \rangle = f(\vec{r} - \vec{r}')$$

$$\Rightarrow \langle C_K^+ C_{K'}^+ \rangle = \langle n_k \rangle \delta_{KK'}$$

Se o sistema tem menos simetria que um sistema homogêneo, por ex. um cristal que se repete entre

$$\langle \Psi^+(\vec{r}) \Psi(\vec{r}') \rangle = h(\vec{r}, \vec{r}') \quad \text{por exemplo } h(\vec{r}, \vec{r}') = h(\vec{r} + \vec{R}, \vec{r}' + \vec{R})$$

de modo que temos que assumir que a densidade de $\langle C_K^+ C_{K'}^+ \rangle$ admite a possibilidade

$$\langle C_K^+ C_{K'=\vec{k}+\vec{Q}}^+ \rangle \neq 0 \quad \text{onde } \vec{R} \cdot \vec{Q} = 2\pi$$

(10)

Para que soluções de simetria reduzida ocorram, é preciso que haja uma quebra espontânea de simetria do Hamiltonian original. Caso contrário podemos até "provar" que um cristal "não existe"! Por exemplo, se partirmos de um Hamiltonian com simetria translacional, sendo que o momento \vec{P} comuta com H , podemos escrever

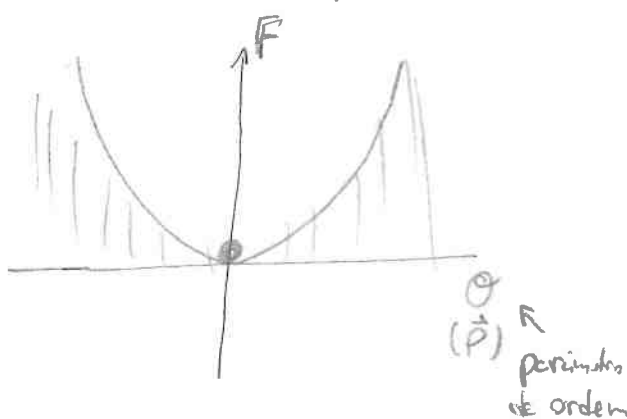
$$\vec{P} = \hbar \sum_{\vec{k}} \vec{K} C_{\vec{k}}^+ C_{\vec{k}} \Rightarrow H|\vec{P}\rangle = E_{\vec{p}} |\vec{p}\rangle \quad ([H, \vec{P}] = 0)$$

Nesse caso $\langle C_{\vec{k}}^+ C_{\vec{k}+\vec{Q}} \rangle = \frac{1}{Z} \text{Tr}[e^{-\beta H} C_{\vec{k}}^+ C_{\vec{k}+\vec{Q}}] =$

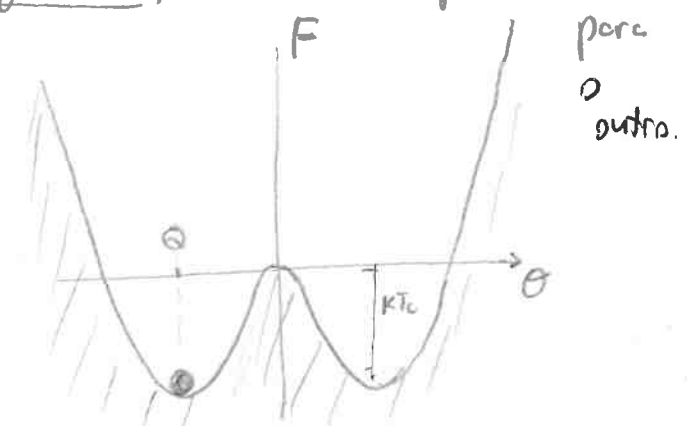
$$= \frac{1}{Z} \sum_{\vec{p}} e^{-\beta E_{\vec{p}}} \langle \vec{p} | C_{\vec{k}}^+ C_{\vec{k}+\vec{Q}} | \vec{p} \rangle$$

$$= \frac{1}{Z} \sum_{\vec{p}} e^{-\beta E_{\vec{p}}} \langle \vec{p} | \vec{p} - \vec{k} - \vec{Q} + \vec{k} | \vec{p} \rangle = 0 \quad \text{se } \vec{Q} \neq 0 \quad ?$$

A " prova" não se sustenta se a soma em \vec{p} puder ser "quebrada", de modo que apenas certas regiões do Espaço de Hilbert possam ser acessíveis determinadas para dentro e para fora em um determinado intervalo de temperatura. Nesse caso \vec{p} não comuta "localmente" com determinadas estatísticas de H . Embora estados de "regiões" diferentes possam ser degenerados, não há como pensar de um



um mínimo acessível
de F



dois mínimos de F
acessíveis (quebra espontânea
de simetria)

Exemplos de quebra espontânea de simetria

| <u>Fenômeno</u> | <u>Parâmetro de ordem</u> | |
|-----------------------------|--|--|
| Cristal | Onda de densidade | $\sum_{\vec{k}} \langle c_{\vec{k}}^+ c_{\vec{k}+\vec{Q}} \rangle$ |
| Ferromagneto | Magnetizações $\langle \hat{n}_\uparrow \rangle - \langle \hat{n}_\downarrow \rangle$ | $\sum_{\vec{k}} (c_{\vec{k}\uparrow}^+ c_{\vec{k}\uparrow} - c_{\vec{k}\downarrow}^+ c_{\vec{k}\downarrow})$ |
| Condensado de Bose-Einstein | Populações do estado $\vec{k}=0$ | $\langle a_{k=0}^+ \rangle$ |
| Supercondutor | Correlações de pares de Cooper | $\langle c_{\vec{k}\uparrow} c_{-\vec{k}\downarrow} \rangle$ |

A quebra espontânea de simetria é definida pelo aparecimento de um parâmetro de ordem, uma quantidade que vai caracterizar as diferentes fases presentes no sistema. Em teorias de campo médio, é importante que o parâmetro de ordem seja incluído "à mão" para diferenciar as soluções resultantes.

Ferromagnetismo: Modelos de Heisenberg via aprox. de campo médio.

Consideremos o Hamiltoniano de Heisenberg para ferromagnéticos iônicos

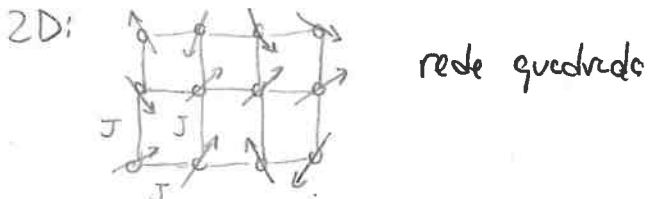
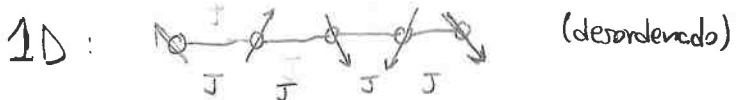
$$H = \sum_{ij} J_{ij} \vec{S}_i \cdot \vec{S}_j$$

$\vec{S}_i \rightarrow$ operador de spin para o íon no sítio i

$$\vec{S}_i = (S_{xi}, S_{yi}, S_{zi})$$

Em geral, consideraremos o caso de interações de primeiros vizinhos (curto alcance) de modo que $J_{ij} = \begin{cases} J & \text{se } i, j \text{ são vizinhos} \\ 0 & \text{caso contrário.} \end{cases}$

$$\Rightarrow H = J \sum_{\langle i,j \rangle} \vec{S}_i \cdot \vec{S}_j$$



Note que $\begin{cases} J > 0 & \text{favorece estados com } \vec{S}_i \cdot \vec{S}_j < 0 \text{ (alinhamento AFM)} \\ J < 0 & \text{favorece estados com } \vec{S}_i \cdot \vec{S}_j > 0 \text{ (alinhamento FM)} \end{cases}$

Nota: alguns autores escrevem "H = -J $\sum \vec{S}_i \cdot \vec{S}_j$ "

(13)

Aproximações de campo médio: ($J < 0 \rightarrow \underline{FM}$)

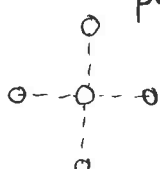
$$H \approx H_{MF} = -|J| \sum_{\langle ij \rangle} \langle \vec{S}_i \rangle \cdot \vec{S}_j + \vec{S}_i \cdot \langle \vec{S}_j \rangle - \langle \vec{S}_i \rangle \cdot \langle \vec{S}_j \rangle$$

"Simetria": $\langle \vec{S}_i \rangle = 0$? \rightarrow assume quebra espontânea de simetria:

- $\langle \vec{S}_i \rangle \neq 0 \rightarrow$ escolhe uma direção

Parâmetro de ordem, $\langle \vec{S}_i \rangle = \langle S_z \rangle \hat{e}_z \rightarrow$ todas iguais (FM)

(FM) Magnetizações: $\rightarrow n N \langle S_z \rangle \hat{e}_z$ $\Rightarrow \sum_{\langle ij \rangle} \langle S_{zi} \rangle \cdot \vec{S}_j = n \langle S_z \rangle \sum_j S_{zj}$



$n \rightarrow n$ de 1^{as} vizinhos

$$\sum_{\langle ij \rangle} \langle S_{zi} \rangle \langle S_{zj} \rangle = n N \langle S_z \rangle^2$$

Spin $\frac{1}{2}$

$N \rightarrow$ número de spins

$$\hat{H}_{MF} = -2|J|n \langle S_z \rangle \sum_i S_{zi} + |J|nN \langle S_z \rangle^2$$

$$S_z |S_z\rangle = \pm \frac{1}{2} |S_z\rangle$$

Função de partição: $Z_{MF} = \text{Tr}[e^{-\beta H_{MF}}] = \sum_{S_{zi}=\pm} \langle S_{z1} S_{z2} \dots | e^{-\beta H_{MF}} | S_{z1} S_{z2} \dots S_{zN} \rangle$

$$e^{-\beta H_{MF}} = e^{+2|J|\beta n \langle S_z \rangle \sum_i S_{zi}} \cdot e^{-\beta|J|\ln \langle S_z \rangle^2 N} = \prod_i e^{2|J|\beta n \langle S_z \rangle S_{zi}} \cdot e^{-\beta|J|\ln \langle S_z \rangle^2 N}$$

chama $m \equiv |J|n \langle S_z \rangle$ logo:

$$Z_{MF} = (e^{+\beta m} + e^{-\beta m})^N \cdot (e^{-\beta m^2 / n|J|})^N \Rightarrow \frac{\partial F}{\partial m} = -\frac{1}{\beta} \frac{\partial}{\partial m} \ln Z_{MF} = 0$$

$$\frac{\partial F}{\partial m} = -\frac{N}{\beta} \left[e^{-\frac{\beta m^2}{n|J|}} (e^{+\beta m} - e^{-\beta m}) \beta + (e^{+\beta m} + e^{-\beta m}) \left(-\frac{2\beta m}{n|J|} \right) e^{-\frac{\beta m^2}{n|J|}} \right] = 0$$

$$\Rightarrow \frac{2m}{n|J|} - \frac{e^{\beta m} - e^{-\beta m}}{e^{\beta m} + e^{-\beta m}} = 0 \quad m = |J|n \langle S_z \rangle$$

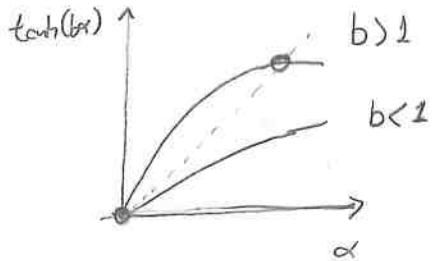
Eq. transcendental

Soluções da Eq. Transcendental \rightarrow auto-consistência

$$\alpha = \tanh(b\alpha)$$

$$\alpha = \frac{2m}{n|J|} = 2\langle S_z \rangle$$

$$\frac{n|J|\beta}{2} = b$$



$\alpha = 0$ ($\langle S_z \rangle = 0$) é sempre solução

$$\text{para } b > 1 \Rightarrow \beta > \frac{2}{n|J|} \text{ ou } T_c < \frac{n|J|}{2k_B} = T_c$$

existe uma outra solução $\langle S_z \rangle \neq 0$

Magnetizações espontâneas:

Expansão para α pequeno:

$$\alpha \approx b\alpha - \frac{1}{3}(b\alpha)^3$$

$$\text{Soluções: } \alpha \approx \frac{1}{b} \sqrt{\frac{3(b-1)}{b}} \quad b = T_c/T$$

$$\frac{1}{b} = T/T_c$$

$$\text{ou } \langle S_z \rangle(T) \approx \frac{T}{2T_c} \sqrt{3(1 - T/T_c)^{\frac{1}{2}}}$$

$$\text{proximo a } T_c : \alpha(T) \sim (T_c - T)^{\frac{1}{2}}$$

Parâmetro de ordem

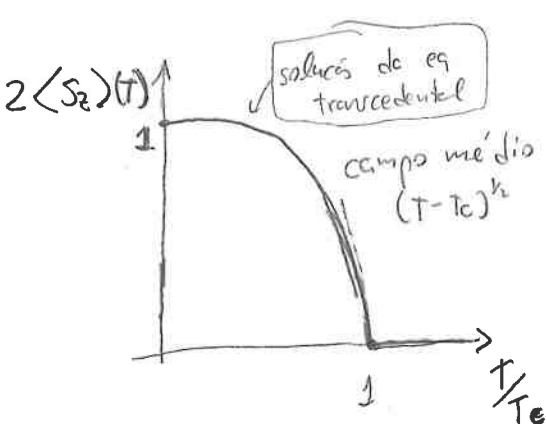
$$\langle S_z \rangle(T) \sim (T_c - T)^{\beta}$$

$$\beta = \frac{1}{2}$$

campo médio

Modelo de Ising em 2D $\boxed{\beta = \frac{1}{8}}$

(Onsager, 1944 \rightarrow "tour de force")



$$T=0 \quad b \rightarrow \infty \quad \alpha \rightarrow 1$$

$$T \approx T_c \quad \langle S_z \rangle(T) \sim (T - T_c)^{\beta}$$